

(426) 18Ni(200) マレージング鋼の疲れき裂伝播における破壊機構図

金属材料技術研究所
第波支所

○角田方衛 丸山典夫
内山郁

1. はじめに・鉄鋼材料の疲れき裂伝播速度, da/dN , は、き裂伝播の下限界値 ΔK_{th} における $10^{-8} \text{ m}/\text{c}$ から高 ΔK の不安定破壊に至るまでの広範囲に変化する。疲れ破面には、破壊機構の違いにより、へき開、凝へき開、粒界割れ、ストライエーション、ティンプルなどが現われる。実際の破壊に遭遇した際、破面は事故原因究明の有力な手掛りになるので、疲れき裂伝播の全域にわたって破面を解析し、定量的に把握しておくことは重要である。さらにその破面から伝播速度、応力拡大係数、伝播方向などの推定が可能であれば、その機構図が材料選択や構造物設計に寄与するところは大きいと思われる。本報告は以上のこと考慮して 18Ni(200)マレージング鋼を用いて疲れき裂伝播破面全域の定量的解析を試みたものである。

2. 実験方法・(a) 対象鋼種: 主化学成分 $\sim 17.7\% \text{Ni} - 7.5\% \text{Co} - 4.0\% \text{Mo} - 0.26\% \text{Ti}$, 热処理 $\sim 815^\circ\text{C} \times 1\text{h} \rightarrow \text{空冷} \rightarrow 482^\circ\text{C} \times 3\text{h} \rightarrow \text{空冷}$, 前引粒大きさ $\sim 11\mu\text{m}$, 機械的性質: 引張強さ 138.6 Kgf/mm^2 , 単調降伏強さ 131.4 Kgf/mm^2 , 繰返し降伏強さ 111.5 Kgf/mm^2 , $\Delta K_{th} 11.0 \text{ Kgf/mm}^{3/2}$ 。(b) 疲れ試験: 試験片形状-一片側切欠付 5mm 厚 40mm 幅板。試験方法-引張-引張, 応力比 $R = 0.10$, 試験環境-大気, $f = 20\text{Hz}$ 。(c) 破面観察: 走査型電子顕微鏡を用いた。

3. 結果・ ΔK_{th} 近くの低 da/dN 領域では破面は脆性的で組織に敏感であり、構成破面単位はラスパケット、ブローフなどの最小の大傾斜粒大きさにたいへん対応している。その際、各パケット中のラス束の方位の巨視的き裂伝播方向に対する傾きは全くランダムであり、その平均値は (Δd_m) 図 1 に示すように約 40° となっている。この Δd_m は ΔK の増大とともに小さくなり、ラス状模様の束は巨視的き裂方向に崩れてくる。このラス状束は $\Delta K = 60 \text{ Kgf/mm}^{3/2}$ でほとんど現われなくなる。き裂先端の繰返し塑性域大きさ $R_{p(c)}$ が前引粒大きさ Y_m と等しくなる ΔK は図に記号 B で示してある。したがって $R_{p(c)} > Y_m$ になると破面にはラス状模様の束は現われなくなる。

粒界割れが現われるのは $45 > \Delta K > 12 \text{ Kgf/mm}^{3/2}$ であり、粒界破壊率のピーク値は $\Delta K = 25 \text{ Kgf/mm}^{3/2}$ においてある。き裂先端の単調塑性域大きさ $R_{p(m)}$ が Y_m と等しくなる ΔK は同図に記号 A で示してあり、 $R_{p(m)} > Y_m$ になると粒界割れは現われないようである。

$R_{p(c)} > Y_m$ になると破面の様相は変化が著しくなる。 $R_{p(c)}$ に相当する $\Delta K = 70 \text{ Kgf/mm}^{3/2}$ 近くでは破面単位の大きさは Y_m に等しく、それより ΔK が大きくなると破面単位は大きくなる。この $R_{p(c)} = Y_m$ を境に 1 つ $da/dN - \Delta K$ 曲線はその勾配が変化する。 $\Delta K \geq 80 \text{ Kgf/mm}^{3/2}$ になるとストライエーションが現われはじまる。本鋼において、 da/dN (巨視的速度) とストライエーション距離 (da/dN)_{s.p.} との間に: $\Delta K < 110 \text{ Kgf/mm}^{3/2}$ では $(da/dN)_{s.p.} > da/dN$, $210 > \Delta K > 110 \text{ Kgf/mm}^{3/2}$ では $(da/dN)_{s.p.} = da/dN$, そして $\Delta K > 210 \text{ Kgf/mm}^{3/2}$ では $(da/dN)_{s.p.} < da/dN$ 。

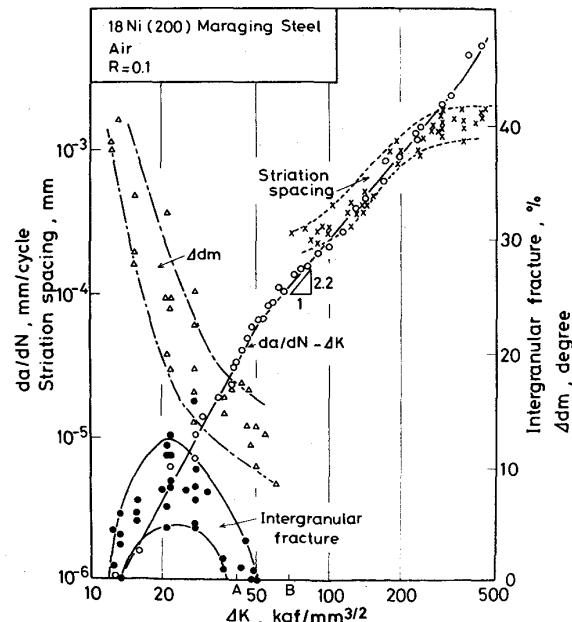


図 1 ラス状模様の方位の巨視的き裂伝播方向に対する平均傾き、粒界破壊率、 $(da/dN)_{s.p.}$ および da/dN と ΔK の関係